

**СООБЩЕНИЯ
ОБЪЕДИНЕННОГО
ИНСТИТУТА
ЯДЕРНЫХ
ИССЛЕДОВАНИЙ
ДУБНА**

Д 466

9-88-302

Д.Х.Динев*, В.А.Михайлов, В.А.Щепунов

**ВОЗМОЖНОСТИ ОПТИМАЛЬНОЙ РАССТАНОВКИ
МАГНИТОВ НУКЛОТРОНА**

* ИЯИЯЭ БАН, София, НРБ

1988

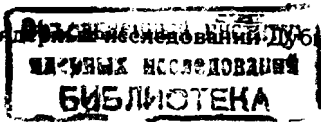
ВВЕДЕНИЕ

Разработка системы коррекции магнитного поля — одна из задач, решение которых продолжается на всех этапах проектирования, сооружения и эксплуатации синхротронов. Основные трудности здесь связаны с коррекцией магнитного поля структурных элементов при индукциях $B > 1,8$ Тл, когда средняя величина и разброс погрешностей резко возрастают. Размещение в кольце синхротрона большого числа сильноточных корректоров хотя и реализуемо, но экономически нецелесообразно, так как приводит к существенному увеличению стоимости ускорителя. Поэтому наиболее эффективными оказываются методы, не требующие установки дополнительных элементов и систем питания. К ним относятся: шиммирование магнитного поля дипольных магнитов, поперечное смещение и поворот вокруг продольной оси квадрупольных линз с целью коррекции орбиты и линейных резонансов связи, оптимальная расстановка структурных элементов в кольце синхротрона по результатам магнитных измерений.

Ниже исследованы возможности последнего метода коррекции применительно к сооружаемому в ОИЯИ сверхпроводящему ускорителю релятивистских ядер — нуклотрону^{/1/}. В приложении кратко изложен метод управляемого случайного поиска^{/2/}, с помощью которого осуществлялось моделирование коррекции орбиты, разбросов частот и резонансов бетатронных колебаний.

1. МАГНИТНАЯ СТРУКТУРА НУКЛОТРОНА

Магнитная структура нуклотрона^{/3/} состоит из 8 суперпериодов, в каждый из которых входят 2 регулярных периода ФОВО и один период ФОВО с двумя большими свободными промежутками, необходимыми для установки оборудования систем ввода, вывода и ускорения (рис. 1). Регулярный период включает в себя фокусирующую и дефокусирующую квадрупольные линзы и 2 дипольных магнита. Два малых промежутка в каждом регулярном периоде предназначены для размещения мультипольных корректоров и диагностического оборудования.



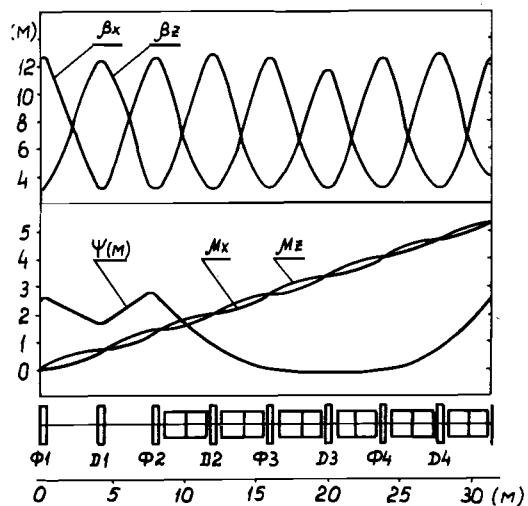


Рис. 1. Магнитная структура и динамические характеристики суперпериода нуклотрона.

Динамические характеристики суперпериода для выбранных частот бетатронных колебаний $Q_x = Q_z = 6,75$ приведены на рис. 1. Здесь $\beta_{x,z}$ — параметры Твисса, ψ — дисперсионная функция, $\mu_{x,z}$ — набег фаз бетатронных колебаний.

2. КОРРЕКЦИЯ ЗАМКНУТОЙ ОРБИТЫ

При изучении возможностей коррекции замкнутой орбиты предполагалось, что источниками искажения и коррекции орбиты являются структурные дипольные магниты, значения полей в которых распределены по нормальному закону с математическим ожиданием $(\Delta \bar{B}/B) = 0$ и дисперсией $\langle \Delta B/B \rangle^2 = 10^{-6}$. С помощью управляемого случайного поиска минимизировалась функция качества следующего вида:

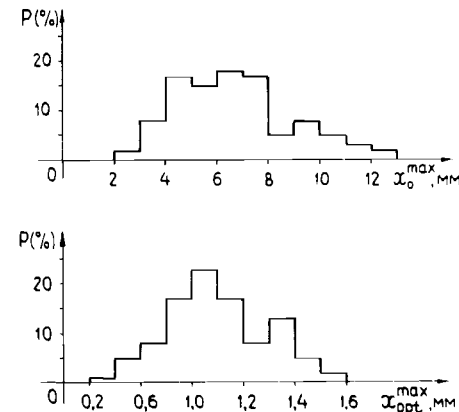
$$F = [\max(x_i)^2], \quad 1 \leq i \leq N, \quad (1)$$

где x_i — горизонтальная проекция искажения орбиты в i -й точке наблюдения. Значения x_i вычислялись в окрестности локальных максимумов β_x -функции ($N = 32$) по формуле ^{1/4}

$$x_i = \frac{\sqrt{\beta_i} \cdot S}{2 \rho \sin \pi Q_x} \sum_{j=1}^M \sqrt{\beta_j} \cos(\phi_i + \pi - \phi_j) \left[\frac{\Delta B}{B} \right]_{0,k,j}; \quad (2)$$

где ϕ_i и ϕ_j — азимуты точек наблюдения и центров дипольных магнитов; β_i — значения β_x -функции в точках наблюдения; β_j — средние значения β_x -функции в дипольных магнитах; $(\Delta B/B)_{0,k,j}$ — относительная погрешность дипольной составляющей в k -м магните, расположенном в j -й точке по периметру нуклотрона; S — эффективная длина

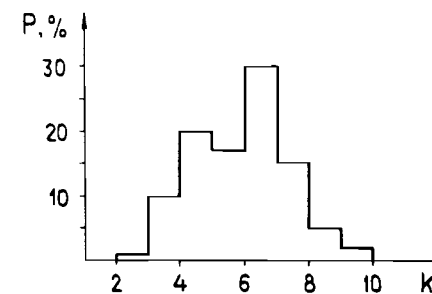
Рис. 2. Распределения максимального отклонения орбиты до (x_0^{\max}) и после (x_{opt}^{\max}) расстановки дипольных магнитов.



магнита; $\rho = 22$ м — радиус кривизны орбиты в дипольном магните; M — число магнитов.

Был произведен расчет 100 различных наборов $(\Delta B/B)_i$, $1 \leq i \leq 96$. Выход из итерационного процесса осуществлялся по числу итераций, равному в этом случае 200. На рис. 2 представлены распределения $P(\max|x_0|)$ максимальных значений отклонений орбиты при произвольной первоначальной расстановке магнитов и после оптимизации $P(\max|x_{opt}|)$ для частоты $Q_x = 6,8$. Необходимо отметить, что x_0^{\max} и x_{opt}^{\max} зависят от среднеквадратичного разброса индукции и частоты бетатронных колебаний Q_x , в то время как качество коррекции $k = x_0^{\max}/x_{opt}^{\max}$ характеризует только возможности данного способа коррекции применительно к заданной структуре. Распределение качества коррекции дано на рис. 3, откуда следует, что в результате численного моделирования расстановки дипольных магнитов получены вполне удовлетворительные значения качества коррекции: средняя величина $\bar{k} = 5,6$ и среднеквадратичная $\langle k \rangle = 1,9$.

Рис. 3. Распределение качества коррекции горизонтальной проекции орбиты.



3. КОРРЕКЦИЯ РАЗБРОСОВ ЧАСТОТ БЕТАТРОННЫХ КОЛЕБАНИЙ

Наличие постоянных составляющих секступольной и октупольной нелинейностей в магнитном поле синхротрона приводит к разбросам частот, зависящим, соответственно, от импульса разброса $\Delta p/p$ и амплитуд бетатронных колебаний. В первом приближении метода усреднения эти зависимости имеют вид

$$\Delta Q_{x,z}^{(2)} = \chi_{x,z}^{(2)} (\Delta p/p); \quad (3)$$

$$\Delta Q_{x,z}^{(3)} = \lambda_{x,z} \cdot E_{x,z} / (2\pi) + \lambda_{xz} \cdot E_{z,x} / (2\pi), \quad (4)$$

где

$$\chi_{x,z}^{(2)} = \frac{1}{2\pi \rho l^2} \sum_{i=1}^M \left[\frac{\Delta B}{B} \right]_{2,i} \int_0^{S_i} \beta_{x,z}^2 \psi ds,$$

$$\lambda_{x,z} = \frac{3}{B \pi \rho l^3} \sum_{i=1}^M \left[\frac{\Delta B}{B} \right]_{3,i} \int_0^{S_i} \beta_{x,z}^2 ds,$$

$$\lambda_{xz} = \frac{-3}{4\pi \rho l^3} \sum_{i=1}^M \left[\frac{\Delta B}{B} \right]_{3,i} \int_0^{S_i} \beta_x \cdot \beta_z ds,$$

$$\left[\frac{\Delta B}{B} \right]_{n,i} = \frac{1}{n!} \left[\frac{\partial^n B_z}{\partial x^n} \right]_i \frac{r^n}{B_0}, \quad n = 2, 3,$$

$r = 40$ мм — расстояние от осевой траектории в медианной плоскости до точки, в которой нелинейности определены; $E_{x,z}$ — эмиттансы пучка; S_i — эффективная длина структурных элементов.

Как следует из (3), (4), величины $\Delta Q_{x,z}^{(n)}$ являются линейными комбинациями $(\Delta B/V)_{n,i}$ и при соответствующей расстановке магнитов могут быть минимизированы.

Для уменьшения зависимости частот бетатронных колебаний от импульсов частиц необходимо свети к минимуму величины полной хроматичности $\chi_{x,z} = \chi_{x,z}^{(1)} + \chi_{x,z}^{(2)}$, где $\chi_{x,z}^{(1)}$ — хроматичность идеальной структуры. Данная задача исследовалась в предположении, что основной вклад в $\chi_{x,z}^{(2)}$ дают сексту-

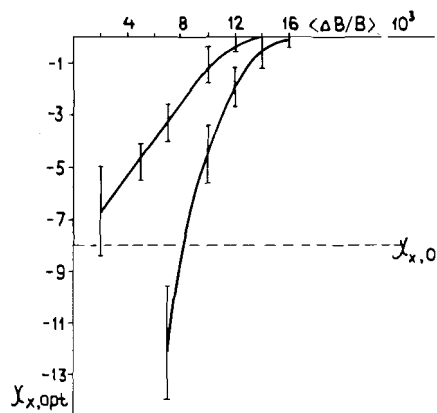


Рис. 4. Зависимость скорректированной хроматичности от среднеквадратичного разброса секступольной нелинейности $\langle \Delta B/V \rangle_2$. $(\Delta B/V)_2 = 0$ — верхняя кривая, $(\Delta B/V)_2 = 7 \cdot 10^{-3}$ — нижняя кривая.

польные нелинейности в дипольных магнитах, распределенных по нормальному закону. Соответствующая функция $F = \chi_x^2 + \chi_z^2$ минимизировалась для 100 наборов $(\Delta B/V)_{2,i}$; $1 \leq i \leq 96$. На рис. 4 приведена скорректированная хроматичность χ_x в горизонтальной плоскости как функция среднеквадратичного разброса секступольной нелинейности для двух ее средних значений: $(\Delta B/V)_2 = 0$, и $(\Delta B/V)_2 = 7,0 \cdot 10^{-3}$. Качество коррекции $K = (\chi_{x,0} / \chi_{x,opt}) = 2,4 \pm 1,2$. Откуда следует, что эффективная коррекция хроматичности возможна лишь при достаточно больших разбросах квадратичной погрешности в магнитах. В вертикальной плоскости получены аналогичные результаты.

При моделировании коррекции разброса частот $\Delta Q_{x,z}^{(3)}$ была предпринята попытка минимизировать функцию

$$F = \lambda_x^2 + \lambda_z^2 + \lambda_{xz}^2, \quad (5)$$

равенство нулю которой означает, что частоты бетатронных колебаний не зависят от амплитуд:

$$\Delta Q_x^{(3)} = 0; \quad \Delta Q_z^{(3)} = 0.$$

Однако проведенные расчеты показали, что значения интегралов $\int_0^{S_i} \beta_x \beta_z ds$ примерно равны для всех возможных положений дипольных магнитов, поэтому при их перестановках λ_{xz} практически не изменится. Данный факт, а также возможности коррекции λ_x и λ_z отражены на рис. 5.

Другая возможность — коррекция сдвига частот при определенных значениях амплитуд бетатронных колебаний. Оптимизируемая функция в этом случае имеет вид

$$F = [\Delta Q_x^{(3)}]^2 + [\Delta Q_z^{(3)}]^2. \quad (6)$$

Для $E_x \approx E_z \approx 40$ мм мрад качество коррекции частот составило несколько сотен для $(\Delta B/V)_3 = 0$ и $\langle \Delta B/V \rangle_3 = 10^{-3}$.

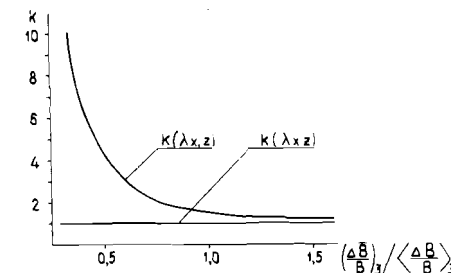


Рис. 5. Зависимость качества коррекции коэффициентов $\lambda_x, \lambda_z, \lambda_{xz}$ от отношения среднего значения к стандартному отклонению октупольной нелинейности поля.

4. КОРРЕКЦИЯ РЕЗОНАНСОВ БЕТАТРОННЫХ КОЛЕБАНИЙ

Коррекцию резонансов рассмотрим на примере параметрического резонанса $2Q_{x,z} = m$, ширина полосы которого определяется из выражения

$$\delta Q_{x,z,m} = \frac{1}{2\pi B \rho} \left| \int_0^{2\pi R} \beta_{x,z} e^{i(2\chi_{x,z} - mS/R)} \cdot \Delta G ds \right|, \quad (7)$$

где $\chi_{x,z}$ — аргументы функции Флоке, R — средний радиус ускорителя, ΔG — погрешность градиента, m — номер резонансной гармоники.

Для одновременной коррекции четырех ближайших к рабочей точке параметрических резонансов $2Q_x = 13$; $2Q_x = 14$; $2Q_z = 13$ и $2Q_z = 14$ функция качества была выбрана в виде

$$F = \delta Q_{x,13}^2 + \delta Q_{x,14}^2 + \delta Q_{z,13}^2 + \delta Q_{z,14}^2, \quad (8)$$

т.е. минимизировались амплитуды 13-й и 14-й гармоник погрешностей эффективных длин фокусирующих и дефокусирующих квадрупольных линз. На рис. 6 представлено распределение качества коррекции ширины полосы резонанса $2Q_x = 13$ ($\bar{k} = 10 \pm \pm 14$). Для остальных резонансов характер распределений практически не изменяется.

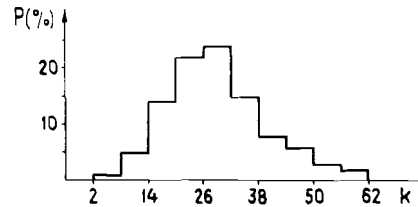


Рис. 6. Распределение качества коррекции параметрического резонанса $2Q_x = 13$.

ЗАКЛЮЧЕНИЕ

Моделирование расстановки структурных элементов в кольце нуклотрона показало большие возможности использования данного метода коррекции при компенсации воздействия случайных погрешностей магнитного поля на пучок (искажение орбиты, резонансы). Более сложной оказалась коррекция разброса частот бетатронных колебаний. Однако в совокупности с шиммированием магнитного поля данная процедура также может быть реализована.

АЛГОРИТМ УПРАВЛЯЕМОГО СЛУЧАЙНОГО ПОИСКА ОПТИМАЛЬНОЙ РАССТАНОВКИ МАГНИТОВ

Пусть магниты расставлены в соответствии с перестановкой

$$X = \left[\left[\frac{\Delta B}{B} \right]_{K_1} \left[\frac{\Delta B}{B} \right]_{K_2} \dots \left[\frac{\Delta B}{B} \right]_{K_m} \right], \quad (П1)$$

где K_i — номер K -го магнита, занимающего i -е место. Все возможные расстановки магнитов образуют комбинаторное пространство перестановок, точками которого являются расстановки X . В этом пространстве вводим метрику следующим образом — расстояние $r(X, Y)$ между расстановками X и Y будем считать равным наименьшему числу транспозиций (парных перестановок), переводящих X в Y . Нетрудно показать, что при таком определении соблюдаются все аксиомы метрики.

Пусть X_0 — произвольная перестановка. Значение функции качества при этой расстановке равно $F_0 = F(X_0)$. Для нахождения минимума F в пространстве расстановок применим следующий алгоритм управляемого случайного поиска. Строим вокруг X_0 сферу S с радиусом

$$R = \delta \cdot R_0, \quad (П2)$$

где $\delta = F/F_0$; R_0 — начальный радиус, значение которого выбирается $\leq (M - 1)$, так как максимальное число парных перестановок между двумя точками равно $(M - 1)$. Случайным образом, с равной вероятностью из этой сферы выбираем точку X_1 , для которой $F(X_1) < F_0$. Расстановка X_1 будет следующим приближением к оптимуму. Теперь строим сферу S_1 вокруг точки X_1 , с радиусом R_1 , вычисленным в соответствии с (П2). Из S_1 случайным образом, с равной вероятностью выбираем точку X_2 , для которой $F(X_2) < F(X_1)$, и так далее. Процесс продолжается до нахождения такой точки, что $F(X_p) < EPS$, где EPS — заданный предел улучшения функции качества.

Блок-схема алгоритма управляемого случайного поиска дана на рис. 7. Расстановка магнитов описывается целочисленным вектором $K(J)$, где $J = 1, 2, \dots, M$ задает положение магнита по периметру ускорителя, а $K(J)$ — номер магнита, поставленного в данном месте. Соответственно, $K_0(J)$ — начальная расстановка. Через F_{opt} и $K_{opt}(J)$ обозначены текущие оптимальное значение функции качества и оптимальная расстановка. В начале программы F_{opt} приравнивается некоторому большому числу \bar{F} . В алгоритме использован генератор случай-

ЛИТЕРАТУРА

1. Baldin A.M. et al. –In: Proc. 1983 Particle Accelerator Conf., IEEE Trans. Nucl. Sci., NS-30, No 4, 1983, p.3247.
2. Динев Д.Х. ОИЯИ, 9-84-622, Дубна, 1984.
3. Василишин Б.В. и др. ОИЯИ, 9-86-512, Дубна, 1986.
4. Коломенский А.А., Лебедев А.И. Теория циклических ускорителей. М.: ГИФМЛ, 1962.

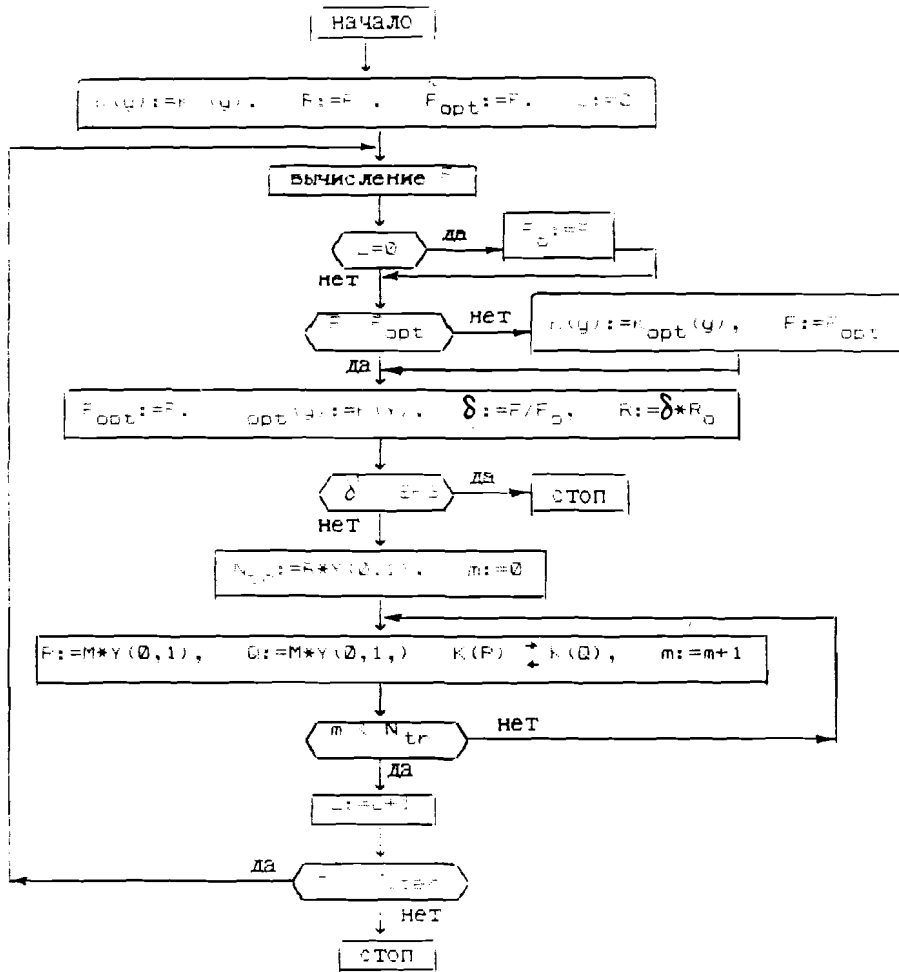


Рис. 7. Блок-схема алгоритма управляемого случайного поиска.

ных чисел $Y(0,1)$ с равномерным распределением в интервале $(0,1)$. Счетчик L ограничивает общее число опробованных точек до N_{iter} в соответствии с наличием машинного времени (т.е. организован выход по числу итераций).

Алгоритм можно запускать с разных начальных точек X_0 и выбирать наилучшее решение. Вместо линейного сжатия сфер поиска можно использовать и нелинейные сжатия.

Рукопись поступила в издательский отдел
4 мая 1988 года.